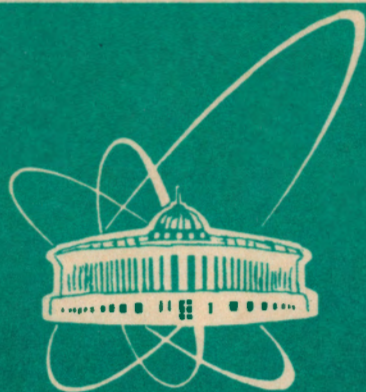


93-200



сообщения
Объединенного
института
ядерных
исследований
Дубна

P4-93-200

О.Лхагва*, Л.Хэнмэдэх¹

УГЛОВОЕ И ЭНЕРГЕТИЧЕСКОЕ
РАСПРЕДЕЛЕНИЯ ЭЖЕКТИРУЕМЫХ
ЭЛЕКТРОНОВ ПРИ ИОНИЗАЦИИ
АТОМА ГЕЛИЯ ЭЛЕКТРОННЫМ УДАРОМ

¹Технический университет, Улан-Батор, Монголия

*Постоянный адрес: Монгольский государственный университет,
Улан-Батор, 210646, Монголия

1993

1. Введение

Проблема описания электронов, эжектируемых при ионизации атомов и молекул быстрыми заряженными частицами, имеет важное значение в атомной физике и занимает центральное место в изучении переноса энергии в веществе быстрыми частицами^[1-4]. Такого рода исследования имеют непосредственное отношение ко многим разделам физики, таким как астрофизика, физика верхней атмосферы и плазмы, создание детекторов заряженных частиц, а также моделирование радиационного повреждения материалов и биологических тканей и т.д. Известно, что первичный ионизационный процесс сильно зависит от природы ионизирующего пучка, в то время как вторичные процессы ионизации и диссоциативные возбуждения обуславливаются, главным образом, низкоэнергетическими электронами, испущенными при первичных процессах. В этом отношении знание характеристик вторичных электронов имеет весьма важное значение. Наряду с этим спектр эжектированных электронов имеет лучшее разрешение, чем спектр потерь рассеянных частиц, так как при этом его разрешение не зависит от падающего пучка и отношение сигнала к шуму практически много больше, чем при регистрации остаточных ионов.

При ионизации атома электронным ударом два вылетающих электрона являются идентичными. Однако медленный из двух электронов, появившихся в результате столкновения, как правило, принимается вторичным (эжектируемым), а быстрый электрон — первичным (рассеянным). В дальнейшем эти рассеянный и эжектированный электроны обозначаются индексами а и б соответственно.

Наиболее полная и надежная проверка теоретического описания динамики ионизационного столкновения может осуществляться при помощи эксперимента, в котором оба электрона одновременно регистрируются на совпадение под телесными углами $d\Omega_a$, $d\Omega_b$, и тем самым измеряются тройные дифференциальные сечения (ТДС) $d\sigma^3/d\Omega_a d\Omega_b dE$. Регистрируя только один из двух конечных электронов, можно определить двойное дифференциальное сечение (ДДС) $d^2\sigma/d\Omega dE$. Это равносильно интегрированию только что упомянутого ТДС по угловому распределению нерегистрируемого (эжектируемого или рассеянного) электрона. Дальнейшее интегрирование ДДС по оставшемуся телесному углу $d\Omega$ дает так называемое одинарное дифференциальное сечение (ОДС) $d\sigma/dE$, определяющее распределение выбитого или рассеянного электрона только по кинетической энергии. Наконец, интегрирование ОДС по энергии потери $E = E_0 - E_a$ или по энергии эжектированного электрона E_b определяет полное ионизационное сечение (ПИС). Хотя ДДС менее чувствительно к деталям ионизационного

механизма, чем ТДС, но оно является более эффективным щупом для проверки теории и эксперимента по сравнению с ПИС процесса.

Гелий является простейшей атомной системой с более чем одним электроном, для которой как теоретическое, так и экспериментальное исследования могут быть выполнены с большой точностью. Кроме того, такое исследование представляет специальный интерес для калибровки экспериментальной техники^[3,4].

Самые ранние экспериментальные результаты по ДДС сообщались^[5,6] в 1930-е годы. В последние 20 лет проведен ряд экспериментов по измерению ДДС ионизации атомов электронным^[3,4,7-12] ударом. ДДС ионизации атомов некоторых простейших газов были измерены^[7] (Опал и др., 1972) методом скрещенных пучков при энергиях падающего электрона 50-2000 эВ в области угла эжекции 30° - 150° , для энергии выбитого электрона в интервале 4-200 эВ. Ода и др.^[8] измерили ДДС на гелии и криптоне при энергиях падающего электрона 500 и 1000 эВ в интервале углов эжекции 10° - 130° . У них нижнее значение энергии эжекции было 24 эВ. Абсолютные ДДС ионизации атома гелия электронным ударом были измерены^[9] (Радд и Дубойс, 1977) при энергиях налетающего электрона 100 и 200 эВ в угловом интервале 10° - 130° . Измерение проведено для энергий эжекции $E_e \geq 4$ эВ. Также проведены^[10] (Шин и Шарп, 1979) измерения ДДС реакции $He(e,2e)He^+$ при энергиях падающего электрона 50, 100, 200 и 300 эВ в области углов эжекции 6° - 156° . В работе^[11] (Мэнсон и др., 1976) были проведены экспериментальное и теоретическое исследования поведения ДДС реакции $He(e,2e)He^+$ при энергии падающего электрона 2 кэВ.

Недавно проводилось несколько^[9-11] экспериментальных исследований по угловым и энергетическим распределениям электронов эжекции и рассеяния в $He(e,2e)He^+$ -реакции. Эрхардт и др.^[3] (1986) измерили ДДС в угловом интервале 18° - 150° при энергиях эжекции 2, 4, 10, 20 и 40 эВ. Энергия падающего электрона при этом варьировалась от 100 до 600 эВ. Для этих измерений использованы те же аппараты, на которых проведены эксперименты по совпадательному $(e,2e)$ -спектру на гелии. Проведены^[4] (Горуганту и Вонхам, 1986) также измерения ДДС ионизации атома гелия быстрыми электронами при энергиях падающего электрона 200, 500, 1000 и 2000 эВ в угловом интервале 30° - 150° . Это явилось первым экспериментом, в котором скорости рассеянного и выбитого электронов анализировались по времени пролета. Во всех предыдущих экспериментах скорости электронов определялись^[3] с использованием электростатического анализатора энергии электрона.

Теоретическому исследованию углового и энергетического распределений электронов рассеяния и эжекции в $\text{He}(e, 2e)\text{He}^+$ -реакции уделено весьма скромное внимание. Имеется несколько расчетов^[4, 11, 13-15], проведенных в первом борновском приближении (ПБП). В работе^[13] (Белл и Кингстон, 1975) использованы для начального состояния гелия шестипараметрическая функция Хиллерааса, а в континууме поляризованные орбиталы. В расчетах^[11] (Мэнсон и др., 1976) в качестве волновых функций начального и конечного в континууме состояний гелия взяты решения уравнения Шредингера с одним и тем же центральным потенциалом Германа и Скильмана. В работах^[11, 13] обсуждался вопрос о применимости ПБП к описанию ДДС $\text{He}(e, 2e)\text{He}^+$ -реакции в рамках имевшихся в то время экспериментальных данных^[7]. Проведены также расчеты с использованием для выбитого электрона кулоновской функции (Балашов и др.^[14], 1973) и функции Хартри-Фока с замороженным остовом (Сенашенко и др.^[15], 1977). Вышеупомянутые расчеты показали, что с увеличением энергии налетающего электрона улучшается согласие между теоретическими оценками^[11, 13-15] и экспериментом^[7].

В настоящее время задача описания углового и энергетического распределений электронов рассеяния и эжекции в реакции $\text{He}(e, 2e)\text{He}^+$ сталкивается с известными трудностями. Экспериментальные данные^[3, 4, 7-11] по абсолютному ДДС имеют серьезные расхождения, особенно при малых энергиях падающего электрона. Теоретические оценки, имеющиеся в отдельных областях кинематических переменных, получены лишь в ПБП; они довольно сильно расходятся с экспериментом. Все еще не развито более серьезных теоретических подходов, выходящих за рамки ПБП, при помощи которых можно было бы получить достаточно надежные оценки в широкой области переменных. Вместе с тем необходимость использования таких данных в различных областях физики и в практических задачах требует детального знания зависимости сечений от энергии налетающего электрона E_0 , энергии E_e и угла θ_e электрона эжекции. Остается также невыясненным вопрос о применимости ПБП для описания ДДС ионизации гелия ударами быстрых электронов, особенно в свете недавних экспериментальных данных^[3, 4]. В этих экспериментах наряду с угловым и энергетическим распределениями определены также угловые коэффициенты ДДС, что позволяет извлечь информацию о механизме $(e, 2e)$ -процесса из спектра эжекции при разных мультипольных моментах.

В последнее время предпринимались некоторые попытки^[1, 2] разработать полуэмпирические модели, которые позволяли бы описать не только экспериментальные данные, но и получить ДДС реакции

$\text{He}(e, 2e)\text{He}^+$ как функцию от переменных E_0, E_b и θ_b в широкой области их изменения. В работе^[2] (Ким, 1983) ДДС для электрона эжекции было представлено в виде суммы слагаемых, каждое из которых состоит из произведения углового коэффициента фитирования $A_n(E_0, E_b)$ и полинома Лежандра $P_n(\cos\theta_b)$ от угла эжекции θ_b ($n = 0, 1, \dots, 6$). Анализы и подгонки проведены на основе имевшихся в то время экспериментов, главным образом, данных Опала и др.^[7], и в области переменных $0^\circ < \theta_b < 180^\circ$, $0 \leq E_b \leq 40$ эВ и $100 \leq E_0 \leq 2000$ эВ; получена таблица соответствующих значений коэффициентов $A_n(E_0, E_b)$.

Совсем недавно в полуэмпирической модели^[11] (Радд, 1991) ДДС для электрона эжекции в реакции $\text{He}(e, 2e)\text{He}^+$ представлено в функциональной форме, которая, как полагает автор, верна для любого набора параметров в широкой области энергии падающего электрона и энергии эжекции. В аналитическом выражении для сечения с самого начала заложены основные физические требования, а параметры определены фитированием под экспериментальные данные^[3, 4]. Полуэмпирическая формула^[2] неплохо описывает ДДС при больших, а модель^[13] – при более низких энергиях падающего электрона.

В данной работе энергетическое и угловое распределения электронов эжекции в $\text{He}(e, 2e)\text{He}^+$ -реакции рассматриваются в ПБП в широкой области кинематических переменных. При этом ставилась основная цель выявить кинематические условия, при которых ПБП применимо к описанию характеристик $(e, 2e)$ -спектра эжекции на гелии. Проведен комплексный анализ наших результатов и имеющихся экспериментальных данных^[3, 4, 7], а также теоретических^[13] и полуэмпирических^[1, 2] оценок по ДДС, ОДС и угловым коэффициентам. Кроме того, исследовались поведение коэффициента угловой анизотропии при разных значениях энергий налетающего и испущенного электронов, а также влияние разных мультипольных слагаемых ДДС на поведение характеристик электрона эжекции. Обсуждался также вопрос сходимости по числу учитываемых в расчетах ДДС парциальных волн. ДДС и ОДС при этом вычислялись путем численного интегрирования ТДС при помощи программы, разработанной и использованной^[16, 17] нами ранее для изучения реакции $\text{He}(e, 2e)\text{He}^+$ в условиях совпадательного $(e, 2e)$ -спектра. Было показано^[16, 17], что при энергиях падающего электрона $E_0 \geq 4000$ эВ ПБП применимо к описанию ТДС для $(e, 2e)$ -процесса. Наши расчеты проводились с использованием структурной модели гелия, которая привела к весьма хорошим оценкам характеристик $(e, 2e)$ -процесса в условиях совпадательного спектра.

В разделе 2 рассматривается теоретический формализм и приведены формулы для ДДС, ОДС и ПИС. В разделах 3 и 4 излагаются модель расчета, результаты, обсуждение и заключение.

2. Теоретический формализм

Процесс ионизации атома гелия ударом быстрой заряженной частицы представим как

$$\text{He}(\alpha_0) + P(\mathbf{k}_0) \Rightarrow \text{He}^+(1s) + P(\mathbf{k}_a) + e(\mathbf{k}_b), \quad (1)$$

где \mathbf{k}_0 , \mathbf{k}_a , \mathbf{k}_b - импульсы падающей, рассеянной частиц и выбитого электрона соответственно. Ниже будем пренебрегать спин-орбитальным взаимодействием и используем LS-представление для описания ($e, 2e$)-процесса. ТДС ионизации атома в ПБП можно записать в виде^[16-18]:

$$\frac{d^3\sigma}{dE d\Omega_a d\Omega_b} = \frac{k_a}{k_0} |T_{fi}|^2. \quad (2)$$

Здесь T_{fi} - амплитуда ионизации:

$$T_{fi} = -\frac{2\pi}{Q^2} \langle \Phi_{\mathbf{k}_{b,f}}^{(-)} | \sum_{k=1,2} e^{i\mathbf{Qr}_k} | \Phi_0 \rangle, \quad (3)$$

$\mathbf{Q} = \mathbf{k}_0 - \mathbf{k}_a$ - переданный импульс, $\Phi_0(\mathbf{r}_1, \mathbf{r}_2)$ - волновая функция основного состояния гелия, а $\Phi_{\mathbf{k}_{b,f}}^{(-)}(\mathbf{r}_1, \mathbf{r}_2)$ - волновая функция его конечного состояния, она должна быть ортогональна к функции основного состояния Φ_0 : таким образом, $\Phi_{\mathbf{k}_{b,f}}^{(-)}$ выбирается в виде:

$$\Phi_{\mathbf{k}_{b,f}}^{(-)} = \Psi_{\mathbf{k}_{b,f}}^{(-)} - \langle \Phi_0 | \Psi_{\mathbf{k}_{b,f}}^{(-)} \rangle \Phi_0. \quad (4)$$

Функция $\Psi_{\mathbf{k}_{b,f}}^{(-)}$ по координате \mathbf{r} электрона эжекции удовлетворяет граничным условиям, соответствующим расходящимся волнам, и нормирована как

$$\langle \Psi_{\mathbf{k}_{b,f}}^{(-)} | \Psi_{\mathbf{k}_{b,f}}^{(-)} \rangle = \delta(E_b - E_b^-) \delta(\hat{\mathbf{k}}_b - \hat{\mathbf{k}}_b^-) \delta_{ff}. \quad (5)$$

Для функций $e^{i\mathbf{Qr}}$, $\Phi_0(\mathbf{r}_1, \mathbf{r}_2)$ и $\Psi_{\mathbf{k}_{b,f}}^{(-)}$ используем следующие разложения

$$e^{i\mathbf{Qr}} = 4\pi \sum_{\lambda\mu} i^\lambda j_\lambda(Qr) Y_{\lambda\mu}^*(\hat{\mathbf{Q}}) Y_{\lambda\mu}(\hat{\mathbf{r}}), \quad (6)$$

$$\Phi_0(\mathbf{r}_1, \mathbf{r}_2) = \sum_{l_0 m_0} a_{l_0 m_0}(\mathbf{r}_1, \mathbf{r}_2) Y_{l_0 m_0}^*(\hat{\mathbf{r}}_1) Y_{l_0 m_0}(\hat{\mathbf{r}}_2), \quad (7)$$

$$\Psi_{\mathbf{k}_{b,f}}^{(-)} = \sum_{lm} i^l e^{i\delta_l} F_{blm}(\mathbf{r}_1, \mathbf{r}_2) Y_{lm}^*(\hat{\mathbf{k}}_b), \quad (8)$$

где $j_\lambda(Qr)$ - функция Бесселя, $Y_{lm}(\mathbf{r})$ - сферическая функция. Здесь $a_{l_0 m_0}(\mathbf{r}_1, \mathbf{r}_2)$ суть коэффициенты разложения функции $\Phi_0(\mathbf{r}_1, \mathbf{r}_2)$. Функция $F_{blm}(\mathbf{r}_1, \mathbf{r}_2)$ представляется в виде:

$$F_{b1m}(r_1, r_2) = \frac{1}{\sqrt{2}} \left[f_{E_b 1}(r_1) Y_{1m}(\hat{r}_1) \phi_{1s}(r_2) Y_{00}(\hat{r}_2) + (-1)^m (1 \pm 2) \right]. \quad (9)$$

Здесь $f_{E_b 1}$ - радиальная волновая функция выбитого электрона, $\delta_{\bar{1}}$ - фаза рассеяния, s -полный спин атома. Подставляя выражения (6)-(7) в формулу (3), учитывая также (4), (8) и (9) и проводя стандартные вычисления^[19], можно привести формулу (3) к виду:

$$T_{f1} = \sum_{1m} t_1(k_b, Q) Y_{1m}^*(\hat{Q}) Y_{1m}(k_b). \quad (10)$$

где $t_1(k_b, Q)$ - парциальная амплитуда, которая имеет вид^[16, 17]:

$$t_1 = - \frac{4\sqrt{2\pi}}{Q^2} e^{i\delta_{\bar{1}}} R_1(k_b, Q). \quad (11)$$

Подставляя выражение (10) в (2) и используя известное соотношение для произведения двух сферических функций от одного и того же аргумента^[19], а также проводя суммирование по m и m' с учетом ортогональности коэффициента Клебша-Гордона, получаем:

$$\frac{d^3\sigma}{dE d\Omega d\Omega} = \frac{k_a k_o}{4\pi E / R_y} \sum_{11' LM} \frac{(2l+1)(2l'+1)}{2L+1} \langle 101'0 | L0 \rangle^2 \times t_1(k_b, Q) t_{1'}(k_b, Q) Y_{LM}^*(\hat{Q}) Y_{LM}(\hat{k}_b); \quad (12)$$

здесь E_o/R_y означает энергию падающего электрона в ридбергах. Отметим, что углы векторов Q и k_b в формуле (12) определены в системе, где ось Z направлена вдоль вектора k_o . В дальнейшем мы ограничиваемся рассмотрением компланарных реакций $He(e, 2e)He^+$, при которых импульсы k_o, k_a и k_b (а следовательно, и Q) лежат в одной плоскости. Будем считать, что угловое распределение рассеянной частицы обладает симметрией относительно направления падающего пучка. В этом случае можно проинтегрировать выражение (12) по азимутальному углу рассеянной частицы φ_a : воспользуемся тем, что он равен азимутальному углу вектора переданного импульса φ_Q . Затем, проводя суммирование по квантовому числу M с учетом ортогональности сферических функций, можно записать:

$$\frac{d^3\sigma}{dE d\Omega_a d\Omega_b} = \sigma^{(3)} = \sum_L C_L^{(3)}(E_o, E_b, \theta_a) P_L(\cos\theta_b). \quad (13)$$

Здесь $d\bar{\Omega}_a = d(\cos\theta_a)$. Угловой коэффициент в (13) имеет вид:

$$C_L^{(3)}(E_o, E_b, \theta_a) = \frac{k_a k_o}{8\pi E_o / R_y} \sum_{11'} (2l+1)(2l'+1) \langle 101'0 | L0 \rangle^2 \times t_1^*(k_b, Q) t_{1'}(k_b, Q) P_L(\cos\theta_Q). \quad (14)$$

ДДС для электрона эжекции получаем, интегрируя выражение (13) по направлениям рассеяния электрона. Заменяя интегрирование по углу рассеяния θ_a интегрированием по абсолютному значению переданного импульса Q , можно представить ДДС в виде:

$$\frac{d^2\sigma}{dE_b d\Omega_b} = \sigma^{(2)}(E_o, E_b) = \sum_L C_L(E_o, E_b) P_L(\cos\theta_b). \quad (15)$$

Здесь угловой коэффициент C_L в ДДС определяется формулой:

$$C_L(E_o, E_b) = \frac{1}{k_a k_o} \int_{Q_{\min}}^{Q_{\max}} C_L^{(3)}(E_o, E_b, Q) Q dQ. \quad (16)$$

При проведении интегрирования в формулах (15) и (16) использованы следующие соотношения

$$Q^2 = k_o^2 - 2k_o k_a \cos\theta_a + k_a^2, \quad d\Omega_a = \sin\theta_a d\theta_a = \frac{1}{k_a k_o} Q dQ. \quad (17)$$

Из формулы (17) видим, что $Q_{\min} = k_o - k_a$ и $Q_{\max} = k_o + k_a$. Интегрируя выражение (13) по углам эжекции, получаем ДДС для рассеянной частицы:

$$\frac{d^2\sigma}{d\Omega_a dE_a} = \sigma^{(2)}(E_o, E_a, \theta_a) = \frac{8k_a k_o}{E_o/Ry} \frac{1}{Q^4} \sum_l (2l+1) |R_l(k_b, Q)|^2 = 4\pi C_o^{(3)}. \quad (18)$$

Одинарное дифференциальное сечение, как мы видим, можно получить двумя разными путями: интегрированием выражения (15) по углам эжекции θ_b или же интегрированием (18) по углу θ_a . В первом случае с учетом формул (11), (16) и (18) мы имеем:

$$\frac{d\sigma}{dE_b} = \sigma^{(1)}(E_o, E_b) = 4\pi C_o(E_o, E_b) = \frac{16\pi}{E_o/Ry} \sum_l (2l+1) \int_{Q_{\min}}^{Q_{\max}} |R_l(k_b, Q)|^2 \frac{dQ}{Q^3}. \quad (19)$$

Легко убедиться в том, что интегрирование сечения (18) по углу рассеяния θ_a с учетом (18) приводит к идентичному с (19) выражению. Отметим, что такое равенство выполняется в случае приближения, согласно которому ионизация происходит в результате только однократных столкновений. Учитывая формулу (19), ДДС (15) можно представить в следующей форме:

$$\frac{d^2\sigma}{d\Omega_a dE_a} = \frac{\sigma^{(1)}(E_o, E_b)}{4\pi} \left[1 + \sum_L \beta_L(E_o, E_b) P_L(\cos\theta_b) \right]. \quad (20)$$

Здесь β_L - коэффициент, который равен

$$\beta_L(E_o, E_b) = \frac{C_L(E_o, E_b)}{C_o(E_o, E_b)} \quad (21)$$

Интегрирование выражения (19) по энергии эжекции E_b дает полное ионизационное сечение:

$$\sigma(E_o) = 4\pi \int_0^{E_o-1} dE_b C_o(E_o, E_b) \quad (22)$$

3. Модель и процедура вычисления

В работе используется структурная модель атома, ранее использованная нами^[16, 17] для расчетов характеристик прямой и резонансной $He(e, 2e)He^+$ -реакции в условиях совпадательного спектра.

Волновая функция для эжектированного электрона $f_{E_b 1}(r)$ (форм. (8) и (9)) получена путем численного интегрирования радиального уравнения Шредингера вида:

$$\left[\frac{d^2}{dr^2} + k_b^2 - \frac{1(1+1)}{r^2} + V_{SP}(r) \right] f_{E_b 1}(r) - \int_0^\infty dr' W_1(r, r') f_{k_b 1}(r') = 0 \quad (23)$$

Здесь потенциал $V_{SP}(r)$ содержит^[23] статическую и поляризационную компоненты, а нелокальный потенциал $W_1(r, r')$ - обменную часть взаимодействия электрона эжекции с ионом $He^+(1s)$.

При больших r функция $f_{E_b 1}(r)$ удовлетворяет асимптотическому условию

$$f_{E_b 1}(r) \Rightarrow \sqrt{\frac{2}{\pi k_b}} \text{Sin} \left[k_b r + \frac{1}{k} \ln(2k_b r) - \frac{\pi}{2} l + \delta_l \right] \quad (24)$$

Здесь $\delta_l = \eta_l + \sigma_l$, $\eta_l = \arg(1 + 1 - i/k_b)$ и σ_l является дополнительным сдвигом фазы, вызванным отклонением от чистой кулоновской волны. В качестве функции основного состояния взята шестипараметрическая функция Хиллерааса. Функция $f_{E_b 1}(r)$ была ортогонализована к функции основного состояния с помощью процедуры Шмидта. Для получения ДДС и ОДС мы использовали комплексную программу, разработанную и использованную нами^[16, 17, 20-22] ранее при расчетах ТДС и ТДОСО $He(e, 2e)He^+$ -реакции. В расчетах парциальные волны включались с тем, чтобы обеспечить точность в трех значащих цифрах в ДДС. Проверка нашей

программы проводилась путем сравнения с теоретическими оценками^[13], что привело к совпадению в 3 - 4 значащих цифрах.

4. Результаты и обсуждения

Основные результаты настоящих расчетов характеристик углового и энергетического распределений электрона эжекции в прямой $\text{He}(e, 2e)\text{He}^+$ -реакции для различных кинематических условий приведены на рисунках 1-9 и в таблицах 1-3 в сравнении с соответствующими экспериментальными данными^[3,4,7] и полуэмпирическими^[1,2] и теоретическими^[13] оценками.

Рис. 1-6 иллюстрируют зависимость угловых коэффициентов $C_L(E_0, E_b)$ (см. формулу (16)) от мультипольного момента L при энергиях налетающего электрона 200, 300, 500, 600, 1000 и 2000 эВ и электрона эжекции - 2, 10, 20 и 40 эВ. При энергии $E \geq 500$ эВ падающего электрона для различных энергий эжекции наши результаты согласуются с экспериментальными данными^[3,4] и полуэмпирическими оценками^[2] (рис. 1-5, $E_0 = 0,5, 0,6, 1$ и 2 кэВ). Видно, что при $E_0 = 1000$ эВ экспериментальные данные^[3,4] и наши оценки весьма близки (рис. 1-4, $E_0 = 1000$ эВ), а при $E_0 = 2000$ эВ они выглядят почти совпадающими (рис. 1-4, $E_0 = 2000$ эВ), в то же время для $E_0 = 500, 600$ эВ имеется согласие в пределах ошибок (рис. 1-4). При $E_0 = 300$ эВ и $E_b \leq 20$ эВ наши расчеты дают удовлетворительное приближение к экспериментальным данным^[4] (рис. 6, $E_b = 2, 10, 20$ эВ).

В случае энергии 200 эВ падающего электрона мы также видим некоторое согласие настоящих расчетов с экспериментом^[3,4]. Для энергии эжекции 2 эВ наши расчеты дают неплохое приближение к экспериментальным данным Эрхардта^[3] за исключением некоторого отклонения при $L=1$. Экспериментальные данные Горуганту и Вонхама^[4] заметно отличаются от данных Эрхардта и др.^[3] при $L=0, 1$ и 3 (рис. 1, $E_0 = 200$ эВ). При энергиях эжекции $E_b > 2$ эВ рассчитанные нами значения коэффициента $C_L(E_0, E_b)$ удовлетворительно согласуются с экспериментальными данными при $L=0$ и 3. Однако для остальных значений L вычисление значения этого коэффициента расходится с экспериментальными данными, особенно сильное отклонение наблюдается при $L=1$.

Таким образом, рисунки 1-6 демонстрируют, что при энергиях падающего электрона $E_0 \geq 500$ эВ для любых значений энергии выбитого электрона ПБП хорошо описывает ДДС для электрона эжекции в $\text{He}(e, 2e)\text{He}^+$ -реакции. Чем выше энергия падающего электрона, тем лучше наши расчеты описывают экспериментальные данные^[3,4]. При энергии налетающего электрона 200 и 300 эВ расчеты в ПБП, в общем, качественно описывают экспериментальные данные по ДДС (рис. 1-4, $E_0 = 200$ эВ, рис. 6).

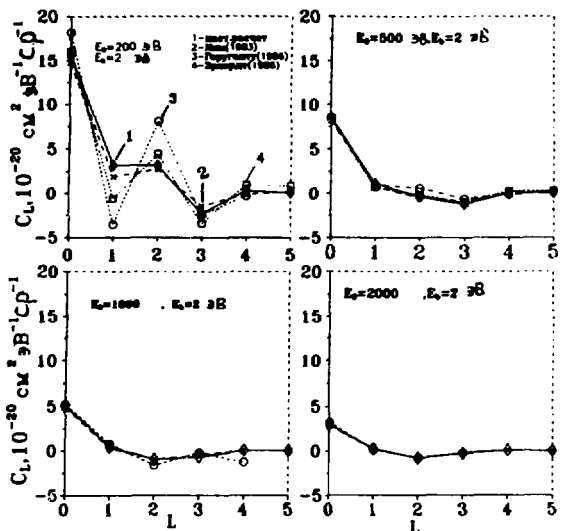


Рис.1. Зависимость углового коэффициента $C_L(E_0, E_D)$ от мультипольного момента L

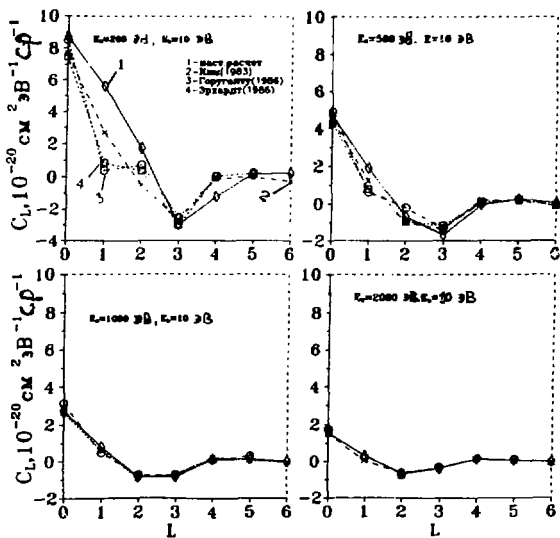


Рис.2. То же, что и на рис.1

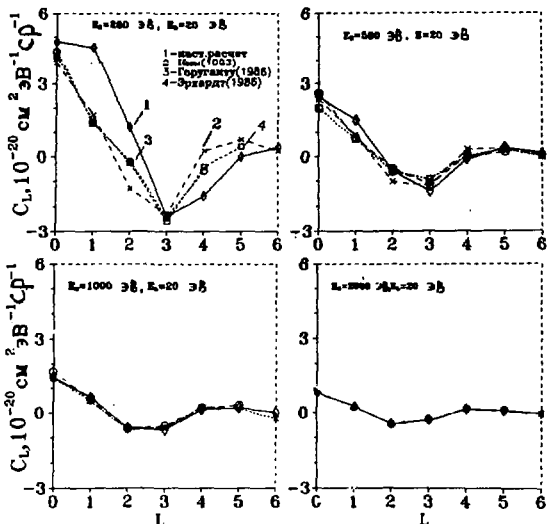


Рис.3. То же, что и на рис.1

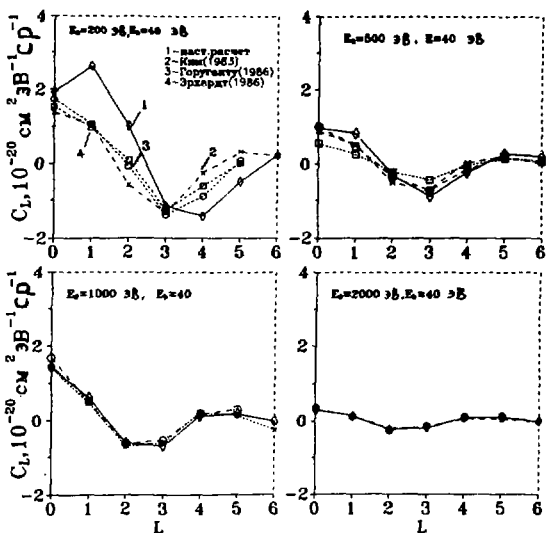


Рис.4. То же, что и на рис.1

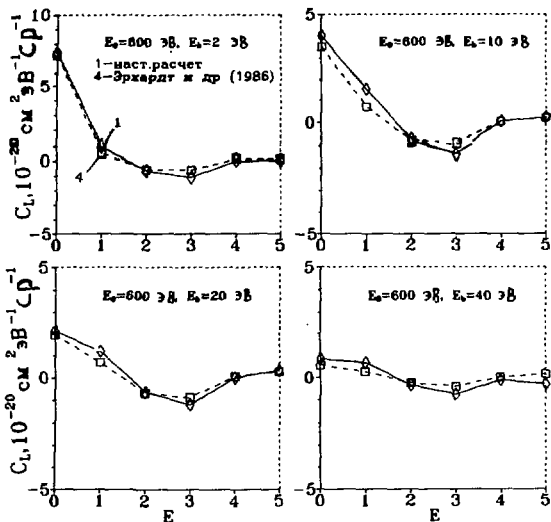


Рис.5. То же, что и на рис.1

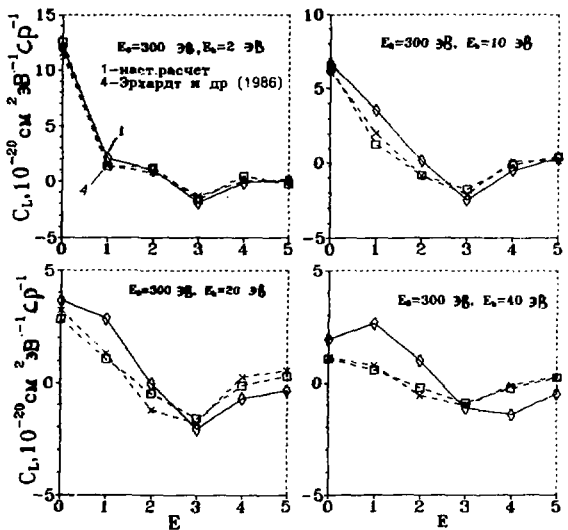


Рис.6. То же, что и на рис.1

Табл. 1. ДДС как функция от угла эжекции θ_b при $E_0=200, 2000$ и $E_b=2$ эВ. ДДС в $10^{-20}\text{см}^2\text{ср}^{-1}\text{эВ}^{-1}$

θ_b	$E_0 = 200$ эВ				$E_0 = 2000$ эВ			
	эксп.		теор.		эксп.		теор.	
	а	ь	с	е	ь	с	е	
0			19.4					
30	17.4	19.3	19.5	19.9	2.74	2.48	2.53	
60	16.0	16.6	17.9	18.3	3.48	3.26	3.35	
90	14.3	14.0	13.8	14.2	2.65	3.48	3.49	
120	13.8	18.0	12.7	13.2	2.78	2.79	2.89	
150	21.0	27.1	15.5	16.1	2.69	2.33	2.40	
180			17.4					

а-эксп. данные (Эрхардт и др., 1986),

ь-эксп. данные (Горуганту и Вонхам, 1986)

с-настоящие расчеты. е-оценки (Белл и Кингстон, 1975)

Табл. 2*. Мультипольные слагаемые ДДС как функции от угла эжекции θ_b . $E_b=2$ эВ, ДДС в $10^{-20}\text{см}^2\text{ср}^{-1}\text{эВ}^{-1}$

L	$\beta_L P_L$	θ_b	0°	30°	60°	90°	120°	150°	180°
$E_0 = 200$ эВ									
1	$\beta_1 P_1$		0.206	0.178	0.103	-0.335^{-7}	-0.103	-0.178	-0.206
2	$\beta_2 P_2$		0.204	0.128	-0.026	-0.102	-0.026	0.128	0.205
3	$\beta_3 P_3$		-0.146	-0.048	0.064	-0.359^{-7}	-0.064	0.48	0.147
4	$\beta_4 P_4$		-0.23	-0.543^{-3}	0.671^{-2}	-0.870^{-2}	0.671^{-2}	-0.543^{-3}	-0.232^{-1}
$E_0 = 2000$ эВ									
1	$\beta_1 P_1$		0.069	0.060	0.034	-0.112^{-7}	-0.034	-0.396	
2	$\beta_2 P_2$		-0.289	-0.181	0.036	0.145	0.036	-0.181	
3	$\beta_3 P_3$		-0.104	-0.034	0.045	-0.245^{-7}	-0.045	0.034	
4	$\beta_4 P_4$		0.017	0.393^{-3}	-0.484^{-2}	0.628^{-2}	-0.484^{-2}	0.393^{-3}	

*) В табл. 2 и 3 принято обозначение a^{-b} , соответствующее $a \cdot 10^{-b}$.

Табл.3. Зависимость коэффициента анизотропии $\beta_L(E_o, E_b)$ от мультиполя L при энергиях падающего электрона 200 и 2000 эВ. $E_b=2$ эВ

L	1	2	3	4	5	6	7	8
$E_o=200$ эВ								
β_L a	-3.68^{-2}	2.78^{-1}	-2.14^{-1}	6.11^{-2}	5.30^{-2}	-3.06^{-2}	-	-
b	-1.95^{-1}	4.45^{-1}	-1.34^{-1}	-1.65^{-1}	-	-	-	-
c	-2.06^{-1}	2.05^{-1}	-1.47^{-1}	-2.32^{-2}	-3.26^{-3}	1.03^{-3}	1.56^{-5}	
$E_o=2000$ эВ								
β_L b	4.03^{-2}	-2.43^{-1}	6.50^{-2}	-	-	-	-	-
c	6.86^{-2}	-2.89^{-1}	-1.04^{-1}	1.68^{-2}	3.09^{-3}	-3.92^{-4}	-8.98^{-5}	

a-эксп. данные (Эрхардт, 1986), б-эксп. данные (Горуганту и Вонхам, 1986)
 c-настоящие расчеты

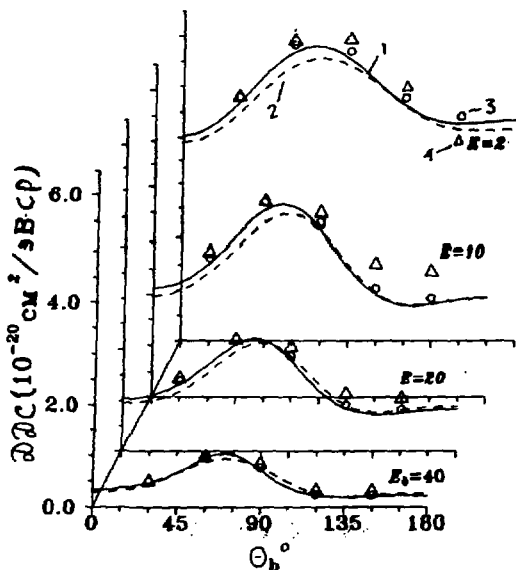


Рис. 7. ДДС как функция от угла эжекции θ_b . $E_o = 1$ кэВ.
 1- настоящий расчет; 2- полуэмпирические оценки^[2] (Ким, 1983);
 3- эксперимент^[4] (Горуганту и Бонхам, 1986); 4- расчет^[13] (Белл, Кингстон, 1975)

На рис. 7 и 8 полученная нами зависимость ДДС от угла эжекции при энергиях налетающего электрона 1000 и 2000 эВ и электрона эжекции 2, 10, 20 и 40 эВ сравнивается с экспериментальными данными^[4], а также теоретическими^[13] и полуэмпирическими оценками^[2]. Как видно, при больших энергиях эжекции $E_b > 20$ эВ все сравниваемые результаты оказываются весьма близкими (рис. 7-8, $E_b = 40$ эВ). Для энергий эжекции $E_b > 20$ эВ лучшее приближение эксперимента^[4] дают наши расчеты. При энергиях эжекции $E_b \leq 20$ эВ теоретические оценки^[13], сосчитанные в ПБП, несколько расходятся с экспериментом (рис. 7, $E_b = 2, 10, 20$ эВ, рис. 8, $E_b = 2, 10$ эВ). Причина расхождения наших результатов и оценок^[7,8], по-видимому, состоит в следующем. В настоящей работе в расчеты включено до 15 парциальных волн поляризованных орбиталей в разложении волновой функции континуума (см. формулу (8)). В то же время в работе^[13] учтены только 7 парциальных волн, три первые ($l=0, 1$ и 2) из которых являются поляризованными орбиталями, а остальные - хартри-фоковскими функциями. В работе^[17] было показано, что при энергиях эжекции $E_b > 20$ эВ ТДС асимметричной $He(e, 2e)He^+$ реакции слабо чувствительно к искажениям парциальных волн с увеличением l . Следовательно, при $E_b > 20$ эВ некоторое незначительное расхождение наших результатов и оценок^[13], по-видимому, обусловлено отличием числа учитываемых в расчетах парциальных волн (рис. 7, 8, $E_b = 40$ эВ). При $E_b \leq 20$ эВ, как упоминалось выше, искажения волн играют важную роль до достаточно больших значений l . В этом случае увеличение числа поляризованных орбиталей, учитываемых в расчетах, вероятно, приводит к некоторому улучшению точности наших результатов по отношению к эксперименту^[4] (рис. 7 и 8, $E_b = 2, 10, 20$).

Табл. 1, 2 и 3 демонстрируют роль знака коэффициента анизотропии β_2 и мультипольных слагаемых в поведении ДДС как функции от угла эжекции θ_b при разных кинематических условиях. При энергиях падающего электрона 200 эВ и электрона эжекции $E_b = 2$ эВ ДДС имеет минимум в области угла эжекции $\theta_b = 90^\circ$, однако при $E_b = 2000$ эВ и $E_b = 2$ эВ вместо минимума появляется максимум (табл. 1). Для энергии $E_b = 200$ эВ в окрестности $\theta_b = 90^\circ$ в ДДС (см. формулу (20)) доминирует мультипольное слагаемое $\beta_2 P_2(\cos 90^\circ)$, оно имеет отрицательное значение (табл. 2, 200 эВ). Для энергии $E_b = 2000$ эВ мультипольное слагаемое $\beta_2 P_2(\cos 90^\circ)$ также является доминирующим, но оно имеет положительное значение, что приводит к поднятию кривой ДДС (табл. 2, 2000 эВ). Таким образом, различие в поведении ДДС как функции от

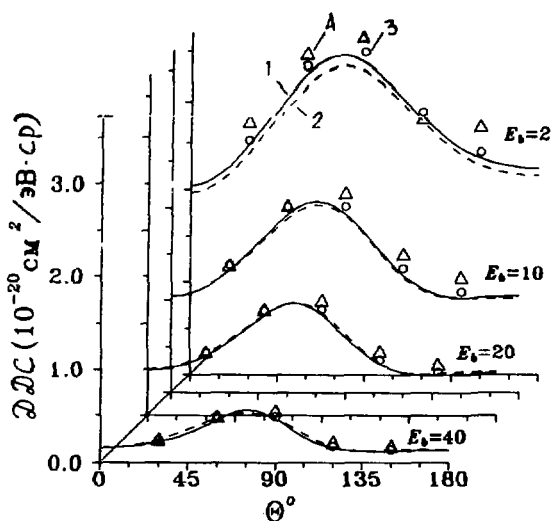


Рис.8. То же, что и на рис.7, $E_0=2$ кэВ.

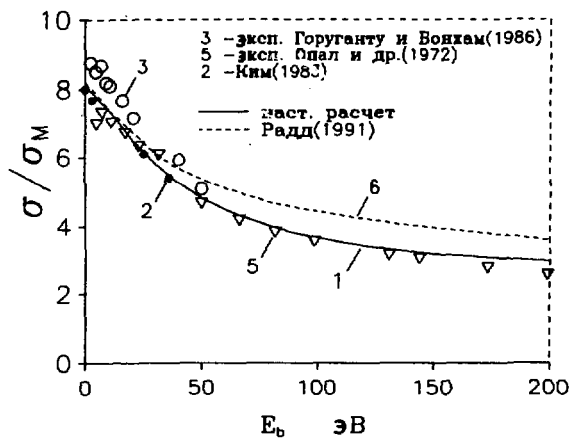


Рис.9. ОДС как функция от энергии эжекции E_0 , $E_0=2000$ эВ

угла θ_b (табл.1) обусловлено анизотропностью углового распределения электронов эжекции (различием знака коэффициента $\beta_2(E_0, E_b)$) при энергиях падающего электрона 200 и 2000 эВ для $E_b=2$ эВ (табл. 3).

Рис. 9 иллюстрирует поведение ОДС, отнесенного к сечению Мотта^[1] (см. формулу (19)), как функции от энергии эжекции E_b при энергии налетающего электрона $E_0=2000$ эВ. Здесь наши результаты сравниваются как с экспериментальными данными^[4,7], так и с оценками^[1,2]. Полученные нами оценки неплохо согласуются с экспериментальными данными^[7] и оценками^[1]. При малых энергиях $E_b < 20$ эВ наши и другие оценки дают несколько заниженные значения ОДС по сравнению с экспериментом^[3]. Однако при $E_b > 20$ эВ наши расчеты дают хорошее приближение к эксперименту^[7] (рис.9). Таким образом, рис.9 подтверждает, что расчеты, проведенные в ПБП, достаточно хорошо описывают энергетическое распределение выбитого электрона в $\text{He}(e,2e)\text{He}^+$ реакции в широком интервале энергии эжекции.

Заключение

В работе в первом борновском приближении (ПБП) рассматривается угловое и энергетическое распределения электронов эжекции в реакции $\text{He}(e,2e)\text{He}^+$. Основной целью ставилось исследовать вопрос о применимости ПБП к описанию характеристик электрона эжекции в свете недавних экспериментальных данных^[3,4] и выявить кинематические условия, при которых это приближение справедливо. Проводился комплексный анализ имеющихся экспериментальных данных, теоретических и полуэмпирических оценок по ДДС и ОДС. Кроме того, исследовались поведение коэффициента угловой анизотропии и роль мультипольных слагаемых ДДС в угловом распределении электрона эжекции при различных кинематических условиях. Волновая функция электрона в континууме описывалась решением уравнения Шредингера в потенциале, содержащем статическую, обменную и поляризационную компоненты. В качестве начального состояния гелия использовалась шестипараметрическая функция Хиллерааса.

Наши расчеты по угловым коэффициентам (рис.1-6), угловому (рис.7 и 8) и энергетическому (рис.9) распределениям показывают, что ПБП применимо к описанию характеристик электрона эжекции в $\text{He}(e,2e)\text{He}^+$ -реакции при энергиях падающего электрона $E_0 \geq 500$ эВ для любых энергий эжекции. При энергиях налетающего электрона 200 и 300 эВ ПБП может качественно описывать спектр эжекции в $(e,2e)$ -процессе. При энергиях $E_0 \geq 500$ эВ для описания характеристик электрона эжекции нужно учитывать в расчете более десяти парциальных волн $l > 10$.

Кроме того, из наших расчетов мы видим, что при энергиях падающего электрона 200 и 2000 эВ, $E_b = 2$ эВ и в окрестности $\theta_b = 90^\circ$ различия в угловых распределениях испускаемых электронов обуславливаются анизотропностью (β_2 имеют разные знаки) и доминированием мультипольных слагаемых $\beta_2 P_2(\cos\theta_b)$ в ДДС в обоих случаях (табл.1-3).

Авторы благодарят проф. В.В.Балашова за стимулирующие обсуждения и полезные советы, также С.Данзана и Л.Г.Заставенко за интерес к работе.

Литература

1. Rudd M.E.: Phys. Rev. A44, 1991, 1644
2. Kim Y.K.: Phys. Rev. A28, 1983, 656
3. Muller-Fieldner R., Jung K. and Ehrhardt H.: J. Phys. B19, 1211(1986)
4. Goraganthu R.R. and Bonham R.A.: Phys. Rev. A34, 103(1986)
5. Mohr C.B.O. and Nicoll F.h.: Proc. R.Soc. London, Ser. A144, 596(1934)
6. Goodrich M.: Phys. Rev., 52, 259(1937)
7. Opal C.B., Beatty E.C. and Peterson W.K.: At. data Nucl. data Tables 4, 209 (1972)
8. Oda N., Nishimura F. and Tahira S.: J. Phys. Soc. Jpn, 33, 462 (1972), Oda N.: Radiat. Res., 64, 1975, 80
Tahira S. and Oda N.: ibid., 35, 1973, 582
9. Rudd M.E. and Dubois R.D.: Phys. Rev. A16, 26(1977)
10. Shyn T.W., Sharp W.E. and Kim Y.K.: Phys. Rev. A19, 557(1979)
11. Manson S.T., Toburen L.H., Madison D.H. and Stolterfoht N.: Phys. Rev. A12, 60(1976)
12. Avaldi L., Camilloni R., Fainelli E. and Stefani G.: Nuov. Cim. 9D, 97(1987)
13. Bell K.L. and Kingston A.E.: J. Phys. B8, 2666(1975)
14. Балашов В.В., Липовецкий В.С., Сенашенко В.С.: Вестник МГУ, 1, 1973, 116
15. Мищенко Т.В., Сенашенко В.С., Страхова С.И.: Оптика и Спектроскопия, 43, 1977, 34
16. Lhagva O.: Z. Phys. D23, 1992, 321
17. Амирханов И.В., Лхагва О., Москаленко И.В. и Хэнмэдэх Л.: Оптика и Спектроскопия, 69, 1990, 1212
18. Балашов В.В., Липовецкий В.С., Сенашенко В.С.: ЖЭТФ, 63, 1972, 1622
19. Балашов В.В. и др. Теоретический практикум. Под. ред Балашова В.В., Москва: Энергоиздат, 1984

20. Lhagva O., Badamdandin R., Strakhova S.I. and Hehnmedeh L.:
J. Phys. B24, 1991 ,4249
21. Lhagva O., Badamdandin R., Strakhova S.I. and Hehnmedeh L.:
preprint JINF E4-91-303. Dubna, 1991: Z.Phys. D.-in press.
22. Лхагва О., Страхова С.И., Бадамдамдин Р., Хэнмэдэх Л.:
Сообщение ОИЯИ Р4-91-129, Дубна. 1991 .
23. McDowell M.R.C., Mopran L.A. and Myerscough V. P.:
J. Phys. B6. 1973 ,1435

Рукопись поступила в издательский отдел
1 июня 1993 года.